



UNIVERSIDADE FEDERAL DO RIO GRANDE DO NORTE  
DEPARTAMENTO DE ENGENHARIA ELÉTRICA  
SISTEMAS DE CONTROLE II - ELE0522

**Docente:**

Gabriel Pereira de Oliveira

**Discente:**

Douglas Wilian Lima Silva  
Gutembergue Ferreira da Silva  
Jeffet Matheus Cardoso da Silva  
Pedro Artur Fernandes Varela de Lira  
Roger José Zacarias da Conceição

**Implementação de controles no domínio da frequência**

Natal - RN  
Novembro de 2023

## Resumo

O presente trabalho tem como objetivo o controle da velocidade e da posição de um motor de corrente contínua (DC) no domínio da frequência, de modo que esse controle aconteça baseado em dois cenários distintos, sendo o primeiro cenário dedicado ao controle da velocidade e o segundo cenário dedicado ao controle da posição angular da máquina.

Vale ressaltar que, em ambos os cenários, o trabalho envolve o projeto e a implementação de sistemas de controle que atendam às margens de fase e de ganho estabelecidas, garantindo um desempenho adequado do motor DC nas dimensões de velocidade (Cenário 1) e posição (Cenário 2). Além disso, o trabalho considera a frequência de corte e utiliza uma aproximação com base na frequência de cruzamento de ganho para otimizar o controle.

Dessa forma, partindo da análise elétrica do motor, modelou-se todo o sistema e foi obtida uma equação diferencial ordinária no domínio do tempo, que, aplicando La Place, levou a equação para o domínio da frequência, o que possibilitou a obtenção da função de transferência que dita o funcionamento do motor e que é o coração desse trabalho. Feito isso, após traçar o Diagrama de Bode da conhecida função de transferência do motor, fez-se, então, o projeto e a simulação dos controladores, buscando o atendimento das condições impostas no problema para ambos cenários. Por fim, obteve-se as respostas dos sistemas dos dois cenários, já com os seus respectivos controladores projetados e cumprindo os requisitos impostos para o êxito da resolução do problema.

# Sumário

<b>Resumo</b>	<b>2</b>
<b>1 Introdução</b>	<b>5</b>
<b>2 Desenvolvimento</b>	<b>6</b>
2.1 Cenário 1 . . . . .	6
2.1.1 Modelagem . . . . .	6
2.1.2 Parâmetros de controle . . . . .	8
2.1.3 Implementação PID . . . . .	10
2.1.4 Resposta do sistema controlado . . . . .	12
2.2 Cenário 2 . . . . .	14
2.2.1 Modelagem . . . . .	14
2.2.2 Parâmetros de controle . . . . .	14
2.2.3 Resposta em realimentação unitária . . . . .	16
<b>3 Considerações Finais</b>	<b>17</b>
<b>Referencial Teórico</b>	<b>18</b>

## Lista de Figuras

1	Esquema elétrico do motor DC. . . . .	6
2	Gráficos de Bode da planta. . . . .	9
3	Margens do sistema. . . . .	10
4	Diagramas de Bode da planta controlada. . . . .	12
5	Margens do sistema controlado. . . . .	13
6	Margens do sistema ajustado. . . . .	13
7	Gráficos de Bode da Planta do Cenário 2. . . . .	15
8	Margens do Sistema do Cenário 2. . . . .	15
9	Resposta Temporal da Planta do Cenário 2 com realimentação unitária. . .	16

# 1 Introdução

Hodiernamente, há grande interesse no controle de sistemas físicos dos mais variados tipos, para que estes atendam à finalidade dos processos nos quais eles estão inseridos, tendo em vista que a industrialização e as demandas tecnológicas utilizam diversos sistemas, dos mais simples aos mais complexos, isolados ou interconectados entre si. Nesse sentido, a implementação do controlador adequado é feita mediante a análise do sistema e o atendimento de critérios de funcionamento com relação ao tempo ou a frequência, a depender do intuito. Sendo assim, este trabalho acadêmico tem como objetivo a modelagem de um sistema elétrico - um motor elétrico, a saber - e o projeto de um controlador que atenda a requisitos no domínio da frequência, em dois cenários distintos, buscando, inicialmente, controlar a velocidade do motor e, posteriormente, sua posição angular.

## 2 Desenvolvimento

O sistema proposto consiste no controle de posição e velocidade de um motor DC utilizando os métodos de resposta em frequência. Para tal, o desenvolvimento do projeto é dado de forma sequencial, partindo da modelagem do sistema físico equivalente ao motor, até a construção das estratégias de controle visando atender os 2 cenários propostos inicialmente. A figura 1 abaixo apresenta a representação física/elétrica do referido sistema.

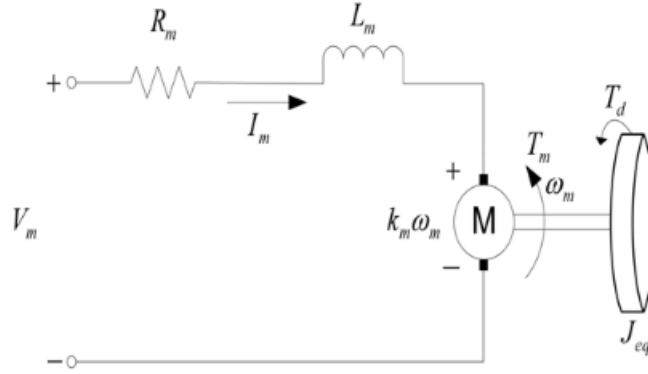


Figura 1: Esquema elétrico do motor DC.

### 2.1 Cenário 1

Neste cenário, é requerido o controle de velocidade do motor em 150 rad/s, de modo que o erro em regime da planta seja nulo, mantendo uma margem de fase ( $MF \geq 100^\circ$ ), uma margem de ganho ( $MG > 6$  dB) e a frequência de corte ( $\omega_b$ ) maior ou igual àquela inicialmente encontrada.

#### 2.1.1 Modelagem

Para a realização da modelagem do sistema é necessário partir dos conceitos que circundam as definições dos sistemas eletromecânicos, relacionando as variáveis elétricas do circuito RL apresentado, com as variáveis mecânicas acopladas à ele. Desse modo, percorre-se a malha de Kirchhoff observada, de forma a obter a equação 1 apresentada.

$$v_m(t) - R_m i_m(t) - L \frac{di_m(t)}{dt} - k_m \omega_m(t) = 0 \quad (1)$$

É possível modelar o torque gerado pelo motor através da corrente que o circula, como  $\tau(t) = k_m i(t)$ , em que nesse caso,  $i(t) = i_m(t)$ . Por consequência, pode-se definir as

expressões 2 e 3 que relacionam essas grandezas.

$$\tau(t) = k_m i_m(t) \quad (2)$$

$$\dot{\tau}(t) = k_m \dot{i}_m(t) \quad (3)$$

Isolando  $i_m(t)$  e fazendo a substituição de 2 e 3 em 1, obtêm-se o resultado apresentado na equação 4.

$$v_m(t) = R_m \frac{\tau(t)}{k_m} + L \frac{\dot{\tau}(t)}{k_m} + k_m \omega_m(t) \quad (4)$$

Vale ressaltar que, o objetivo da modelagem para esse caso é a obtenção de uma equação diferencial que relacione a tensão aplicada ao motor  $v_m(t)$  com a rotação gerada por ele  $\omega_m(t)$ . Dessa forma, é necessário relacionar o torque gerado pelo sistema, com a velocidade angular desejada.

Para tal, analisa-se a relação torque-inércia do sistema, já que através da inércia, o torque é relacionado à velocidade angular. Partindo dessa análise, é possível definir a expressão 5 mostrada a seguir.

$$\tau(t) = J_{eq} \omega_m(t) + b \omega_m(t) \quad (5)$$

Em que  $J_{eq}$  é a inércia equivalente do sistema e  $b$  o coeficiente de amortecimento devido ao atrito no eixo do motor. As descrições técnicas da máquina não apresentam o coeficiente  $b$ , portanto, torna-se necessário relacioná-lo à constante de tempo mecânica do motor  $\tau_m$  através da seguinte expressão, em que  $J_m$  é a inércia do motor

$$\tau_m = \frac{J_m}{b} \implies b = \frac{J_m}{\tau_m} \quad (6)$$

Por fim, o único termo desconhecido na equação é inércia equivalente do sistema, que pode ser facilmente encontrada pela soma da inércia do motor ( $J_m$ ) com a inércia do disco ligado à ele ( $J_d$ ), conforme a equação 7.

$$J_{eq} = J_m + J_d \quad (7)$$

Conforme mostra (HALLIDAY; RESNICK; WALKER, 2012, v. 1, p. 263), o momento de inércia de um disco pode ser obtido pela metade do produto entre a massa do mesmo e o quadrado do seu raio, fazendo com que o resultado possa ser obtido em 8.

$$J_{eq} = J_m + \frac{M_1 r_1^2}{2} \quad (8)$$

Substituindo todos os resultados obtidos em 4, obtêm-se a equação diferencial que

modela o sistema, conforme apresentado abaixo.

$$v_m(t) = \frac{L}{k_m} \left( J_m + \frac{M_1 r_1^2}{2} \right) \ddot{\omega}_m(t) + \left[ \frac{R_m}{k_m} \left( J_m + \frac{M_1 r_1^2}{2} \right) + \frac{J_m L}{k_m \tau_m} \right] \dot{\omega}_m(t) + \left( \frac{R_m J_m}{k_m \tau_m} + k_m \right) \omega_m(t) \quad (9)$$

Fazendo as devidas substituições dos coeficientes com aqueles informados nas características técnicas do motor DC, pode-se representar a EDO conforme a equação 10.

$$v_m(t) = (3,6053 \times 10^{-7}) \ddot{\omega}_m(t) + (4,6643 \times 10^{-3}) \dot{\omega}_m(t) + (9,9188 \times 10^{-2}) \omega_m(t) \quad (10)$$

Com o intuito da obtenção da função de transferência do sistema, pode-se aplicar a transformada de Laplace nos dois lados da equação, levando a EDO para o domínio da frequência, concluindo, então, o objetivo inicial da modelagem que consiste na obtenção do modelo em domínio da frequência da resposta da velocidade do motor em função da tensão aplicada.

$$V_m(s) = (3,6053 \times 10^{-7}) s^2 W_m(s) + (4,6643 \times 10^{-3}) s W_m(s) + (9,9188 \times 10^{-2}) W_m(s)$$

$$G_p(s) = \frac{W_m(s)}{V_m(s)} = \frac{1}{(3,6053 \times 10^{-7}) s^2 + (4,6643 \times 10^{-3}) s + (9,9188 \times 10^{-2})} \quad (11)$$

Simplificando a expressão faz-se:

$$G_p(s) = \frac{2,7737 \times 10^6}{(s + 21,3)(s + 12916,04)} \quad (12)$$

### 2.1.2 Parâmetros de controle

Obtendo a modelagem do sistema, é necessário realizar a verificação dos parâmetros da planta de forma a verificar quais dos requisitos estão sendo atendidos sem a implementação de um sistema de controle e qual controlador será necessário para corrigir aqueles não atendidos.

O erro em regime do sistema para uma entrada degrau é dado conforme a expressão 13 abaixo, considerando uma entrada degrau unitário.

$$e(\infty) = \lim_{s \rightarrow 0} s \frac{R(s)}{1 + G_p(s)} \quad (13)$$



Em que  $R(s)$  é a entrada. Dessa forma, pode-se definir o erro em regime como sendo:

$$e(\infty) = \frac{1}{1 + 10,08209} \implies e(\infty) = 0,0902357 \quad (14)$$

De forma sequencial, os gráficos de Bode de magnitude e fase podem ser observados na figura 2 abaixo. Neles, pode-se observar o comportamento da planta do sistema no domínio da frequência.

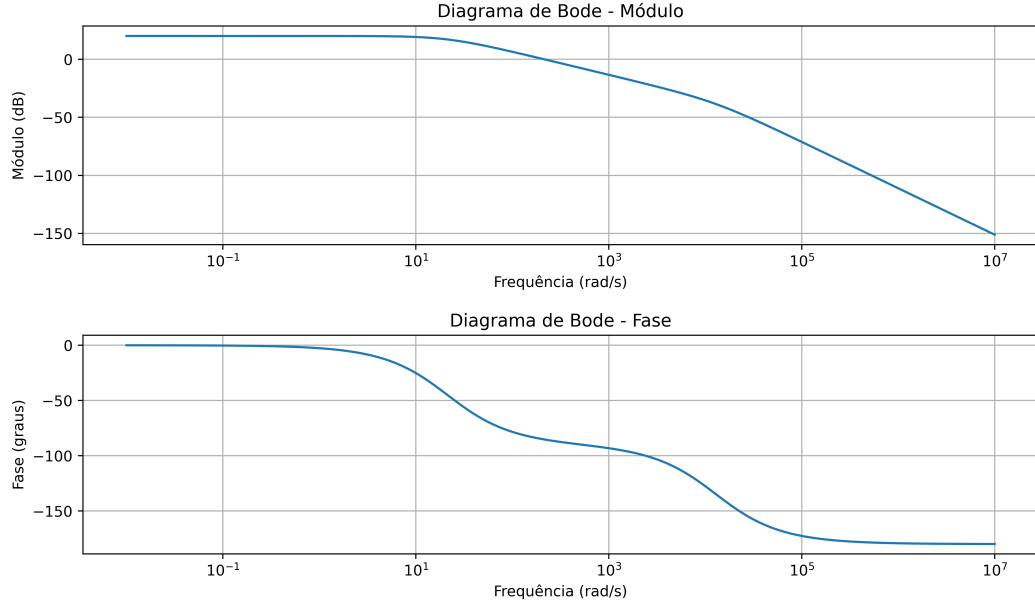


Figura 2: Gráficos de Bode da planta.

Além disso, a figura 3 apresenta o destaque da margem de fase do sistema, que é observável numericamente. No entanto, a margem de ganho não está representada já que em 2 que o diagrama não cruza a fase de  $-180^\circ$  o que condiz à uma margem  $MG = \infty$ .

Nota-se que a frequência de cruzamento de ganho ( $\omega_{cg}$ ) é encontrada com um valor de 213,68 rad/s. Para esse valor, a magnitude da planta possui um valor de -0,001 dB. Isso ocorre, devido a representação discreta do sinal para a criação das curvas de Bode, que não garante que o ponto exato de 0 dB possua um correspondente no gráfico.

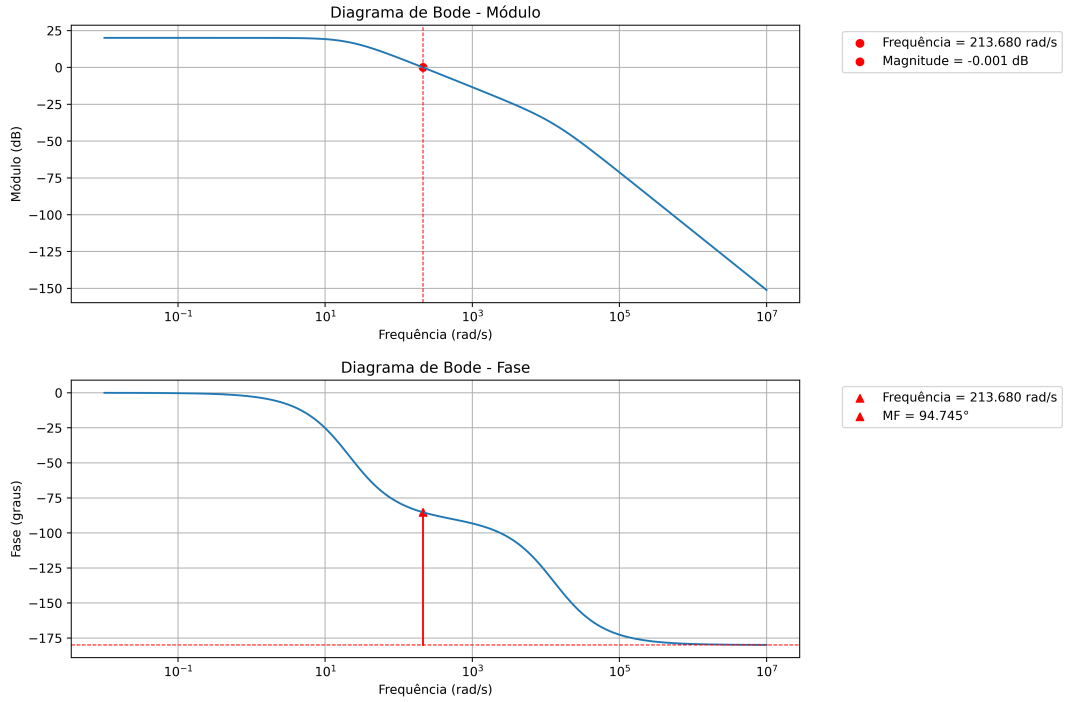


Figura 3: Margens do sistema.

Percebe-se, então, que a margem de fase da planta original é de  $94,745^\circ$ , para a frequência  $\omega_{cg}$  já citada.

Com base nos parâmetros apresentados, é possível observar que apenas o requisito de margem de ganho está sendo atendido. É necessária a implementação de uma parte integrativa para zerar o erro em regime e, de forma semelhante, a implementação de uma parte derivativa para corrigir a margem de fase para a frequência desejada. Fazendo com que, para o atendimento dos requisitos o controlador ideal aplicado seja o PID.

### 2.1.3 Implementação PID

No domínio da frequência, a planta de um controlador proporcional integrativo derivativo é dada através da expressão 15. Tal construção só é válida por meio da representação da parte integrativa  $T_I$  como sendo 4 vezes o valor da parte derivativa  $T_D$ . Dessa forma, durante o processo de descrição dos parâmetros, a preocupação se dá apenas com os coeficientes proporcional e derivativo.

$$G_c(s) = \frac{\frac{K_C}{4T_D}(2T_D s + 1)^2}{s} \quad (15)$$

Nota-se que o PID adiciona dois zeros dimensionáveis e um polo na origem para correção do erro em regime. Esses zeros são responsáveis pelo aumento da margem de fase, enquanto o polo tende a piorá-la.

Como para o atendimento dos requisitos deve-se manter ou aumentar a frequência de

corte anterior, todo o projeto será pensado de forma a manter a frequência de cruzamento de ganho  $\omega_{cg} = 213,68$  rad/s.

É necessário que o acréscimo do controlador adicione a margem de fase faltante para que o sistema atinja os requisitos desejados na frequência  $\omega_{cg}$ , por conseguinte, torna-se essencial que a fase do controlador seja dada da seguinte maneira.

$$\angle G_c(j\omega_{cg}) = \phi_f - \phi_i \quad (16)$$

Em que  $\phi_f$  é a margem de fase desejada e  $\phi_i$  a margem já obtida pela planta.

$$\angle \frac{\frac{K_C}{4T_D}(2T_D j\omega_{cg} + 1)^2}{j\omega_{cg}} = \phi_f - \phi_i \implies 2 \tan^{-1}(2T_D \omega_{cg}) - 90^\circ = \phi_f - \phi_i \quad (17)$$

Através da expressão 17 é possível a obtenção do valor de  $T_D$ , utilizando as margens já obtidas anteriormente.

$$\begin{aligned} 2 \tan^{-1}(2T_D \cdot 213,68) - 90^\circ &= 100^\circ - 94,745^\circ \\ \tan^{-1}(427,36T_D) &= 47,6275 \end{aligned}$$

$$T_D = \frac{\tan(47,6275)}{427,36} \implies T_D = 0,002565 \quad (18)$$

De forma semelhante, é necessário que ao adicionar o controlador, para a frequência de 213,68 rad/s, a magnitude se mantenha em 0 dB. Ou seja, o módulo do produto entre as duas funções de transferência deve ser igual a 1.

$$|G_c(j\omega_{cg})||G_p(j\omega_{cg})| = 1 \quad (19)$$

$$\frac{|\frac{K_C}{4T_D}(2T_D j\omega_{cg} + 1)^2|}{|j\omega_{cg}|} \cdot \frac{|2,7737 \times 10^6|}{|(j\omega_{cg} + 21,3)(j\omega_{cg} + 12916,04)|} = 1 \quad (20)$$

$$\frac{\frac{K_C}{4T_D}(4T_D^2 \omega_{cg}^2 + 1)}{\omega_{cg}} = \frac{\sqrt{\omega_{cg}^2 + 21,3^2} \cdot \sqrt{\omega_{cg}^2 + 12916,04^2}}{2,7737 \times 10^6} \quad (21)$$

$$1,00422K_C = 1,00009 \implies K_C = 0,9959 \quad (22)$$

Através dos parâmetros encontrados, é possível evidenciar a função de transferência

do controlador PID que atende os requisitos desejados, conforme a expressão 23 abaixo.

$$G_c(s) = \frac{0,0025445s^2 + 0,993959s + 97,06628}{s} \quad (23)$$

#### 2.1.4 Resposta do sistema controlado

Com a obtenção da planta do controlador, faz-se a multiplicação com a planta do sistema de forma a representar a resposta final do sistema controlado. Em seguida, é visualizado o diagrama de bode objetivando conhecer o comportamento em frequência da malha de controle.

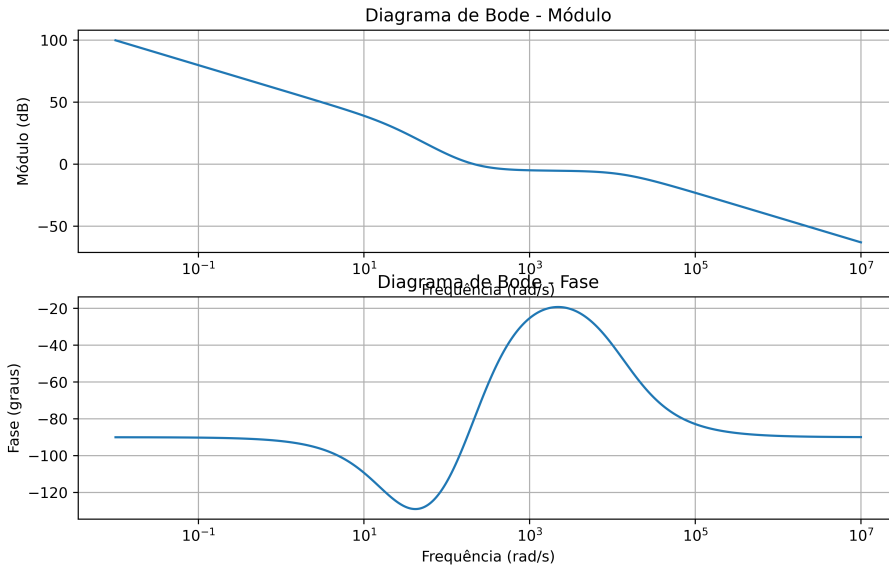


Figura 4: Diagramas de Bode da planta controlada.

Com a plotagem apresentada, torna-se necessário verificar as margens do sistema para o novo caso, observando a frequência  $\omega_{cg}$  desejada e analisando se haverá a necessidade de ajuste dos parâmetros do controlador implementado. Dessa forma, as margens foram plotadas através do diagrama de bode, conforme apresenta a figura 5 abaixo.

Ela mostra que a margem de ganho continua infinita, já que não há o cruzamento com a fase de  $-180^\circ$  e que, para a frequência de 213,68 rad/s, a margem de fase do sistema subiu de  $94,745^\circ$  para  $99,772^\circ$ . Dessa forma, a margem requisitada pode ser considerada atendida. Caso fosse necessário, poderiam ser feitos leves ajustes nos parâmetro, de forma a ultrapassar o valor de  $100^\circ$  para a margem de fase.

Pode-se, por exemplo, aumentar levemente o  $K_C$  para 1, obtendo:

$$G_c(s) = \frac{0,002565s^2 + s + 97,4658}{s} \quad (24)$$

Que por sua vez, geraria as margens apresentadas em 6, que atendem os requisitos por completo, aumentando levemente a frequência de corte em torno de 1 rad/s.

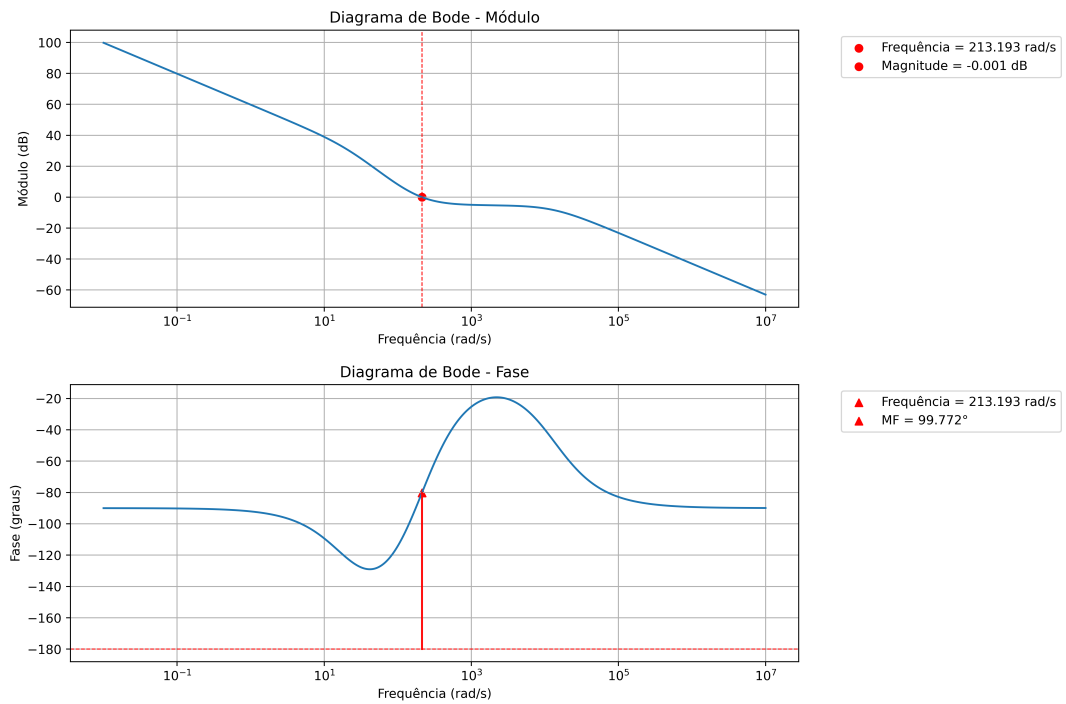


Figura 5: Margens do sistema controlado.

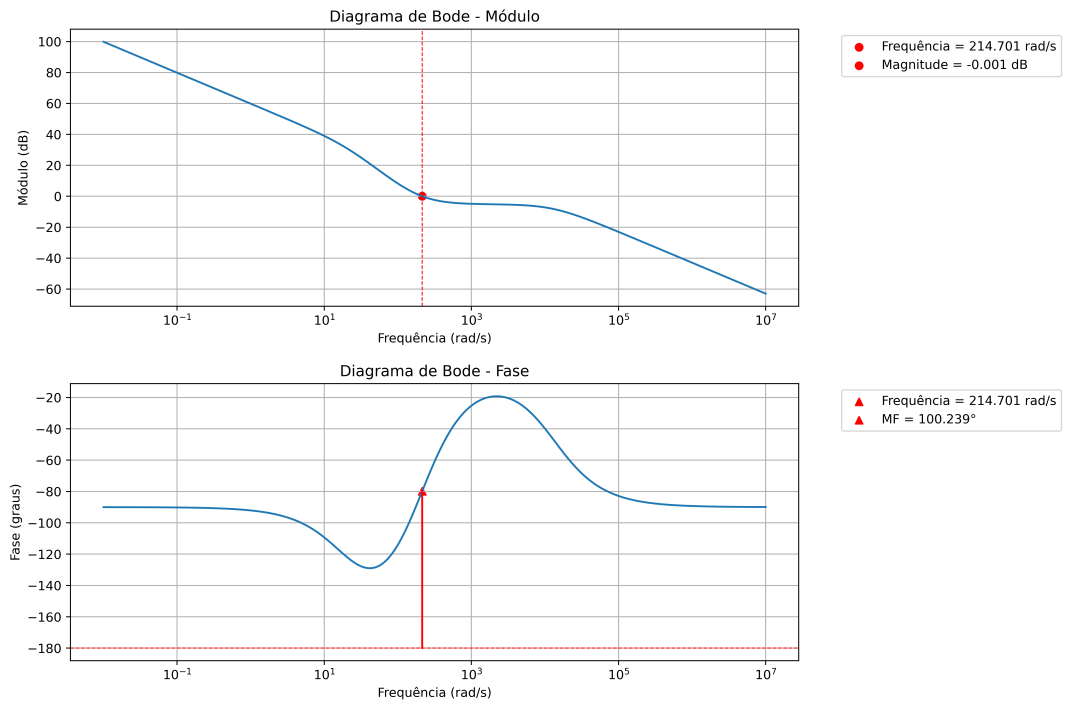


Figura 6: Margens do sistema ajustado.

## 2.2 Cenário 2

### 2.2.1 Modelagem

Para o segundo cenário, a situação é análoga e os parâmetros não se modificaram. Portanto, chega-se à mesma modelagem obtida na equação 12. Porém, pede-se a relação entre a entrada de tensão  $V_m(s)$  e uma saída de posição  $\Theta(s)$ , não mais de velocidade  $W_m(s)$ .

Conforme mostrado em (HALLIDAY; RESNICK; WALKER, 2012, v. 1), a relação entre velocidade e posição angular é dada pela equação 25 no domínio do tempo, ou pela equação 26, no domínio da frequência.

$$\omega_m(t) = \dot{\theta}_m(t) \quad (25)$$

$$\frac{\Theta_s(s)}{W_m(s)} = \frac{1}{s} \quad (26)$$

Com isso, é possível fazer o produto entre a relação velocidade e posição dada pela equação 26 com a função de transferência que relaciona a entrada de tensão  $V_m(s)$  e a saída de velocidade  $W_m(s)$  dada pela equação 12. O resultado desse produto expressa uma relação direta entre a entrada de tensão  $V_m(s)$  e saída de posição  $\Theta_s(s)$  (Equação 27).

$$G_p(s) = \frac{\Theta_s(s)}{W_m(s)} \cdot \frac{W_m(s)}{V_m(s)} = \frac{2,7737 \times 10^6}{s(s + 21,3)(s + 12916,04)} \quad (27)$$

### 2.2.2 Parâmetros de controle

Analogamente ao procedimento realizado no cenário 1, é necessário realizar a verificação dos parâmetros da planta de forma a verificar quais dos requisitos estão sendo atendidos sem a implementação de um sistema de controle e qual controlador será necessário para corrigir aqueles não atendidos.

Para o cálculo do erro de regime, aplica-se a expressão 13, conforme explicado. Com isso, obtêm-se um erro de regime nulo, já que a função de transferência da equação 27 é do tipo 1 com uma entrada degrau unitário.

Seguindo sequencialmente, os gráficos de Bode de magnitude e fase para análise do comportamento da planta no domínio da frequência estão expostos na figura 7.

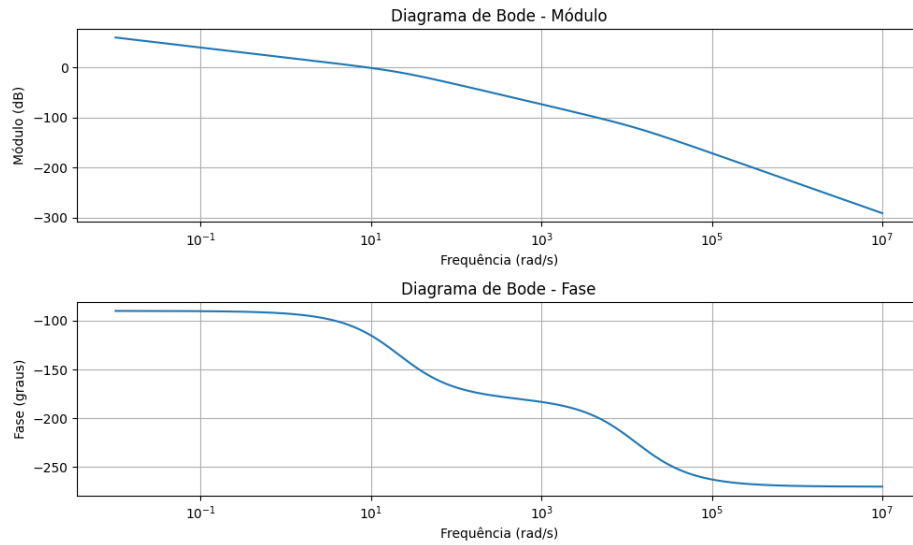


Figura 7: Gráficos de Bode da Planta do Cenário 2.

Além disso, a figura 8 apresenta o destaque da margem de fase do sistema, que é observável numericamente. É possível observar que o sistema cruza a fase de  $-180^\circ$  na frequência de 524.599 rad/s, cuja correspondência é uma margem de ganho  $MG = 62.169$  dB.

Nota-se que a frequência de cruzamento de ganho ( $\omega_{cg}$ ) é encontrada com um valor de 9.248 rad/s. Para esse valor, a magnitude da planta possui um valor de -0,001 dB. Isso ocorre, devido a representação discreta do sinal para a criação das curvas de Bode, conforme explicado anteriormente.

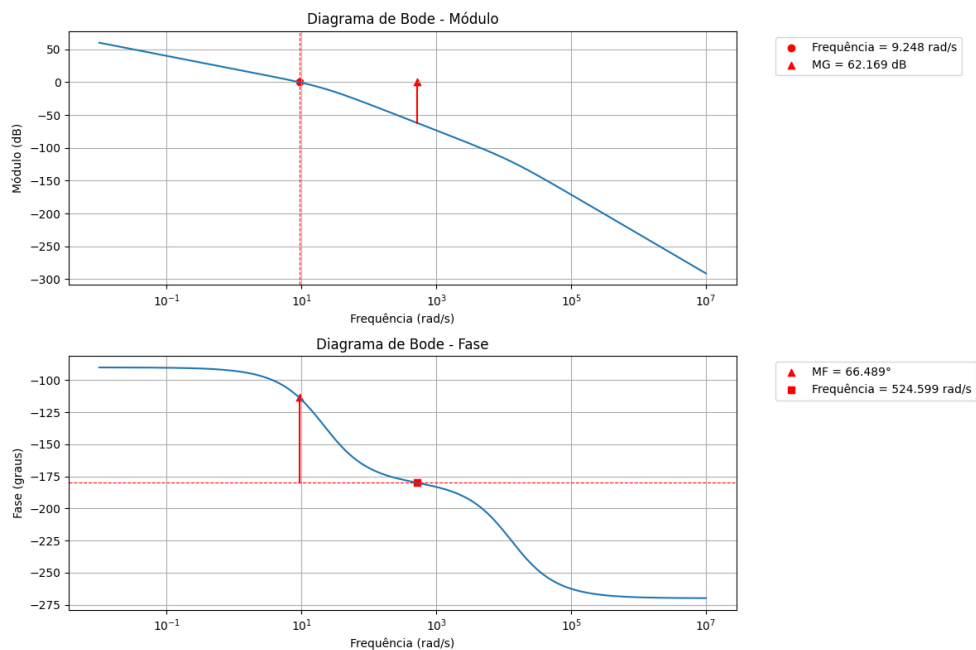


Figura 8: Margens do Sistema do Cenário 2.

Percebe-se, então, que a margem de fase da planta original é de  $66.489^\circ$ , para a frequência  $\omega_{cg}$  já citada.

Com base nos parâmetros apresentados, observa-se que todos os requisitos solicitados são atendidos pela planta: erro de regime nulo,  $MF \geq 50^\circ$  e  $MG \geq 6dB$ , não havendo a necessidade de nenhum tipo de controlador.

### 2.2.3 Resposta em realimentação unitária

Deseja-se regular a posição do eixo do motor em 1 rad (sem erro em regime). Portanto, faz-se necessária a implementação de uma realimentação unitária sobre o sistema da planta, com uma referência de 1 rad.

Através da implementação desse sistema com o uso da linguagem de programação Python, obteve-se uma resposta no domínio do tempo com o comportamento exposto na figura 9.

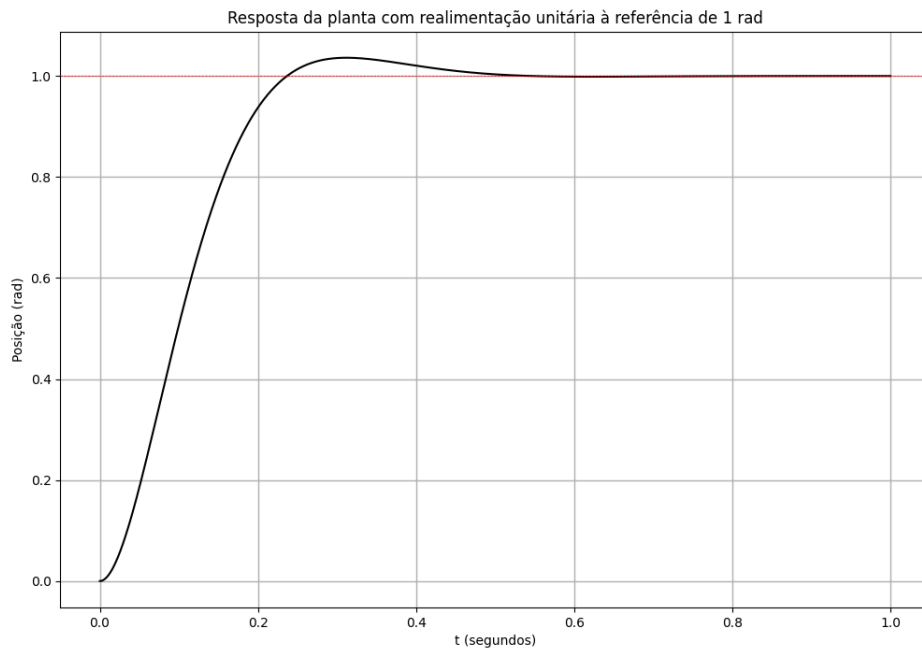


Figura 9: Resposta Temporal da Planta do Cenário 2 com realimentação unitária.

Observa-se um tempo de estabilização em torno de 0.5s e um erro de regime nulo.



### 3 Considerações Finais

O presente relatório descreve a aplicação de técnicas de controle em um motor DC, abordando um desafio de relevância na área de Engenharia Elétrica. Durante a execução do projeto, que envolveu o controle da velocidade e posição do motor, os conceitos teóricos foram traduzidos em prática, com destaque para a implementação do controle de PID utilizando o método da frequência.

No primeiro cenário, a abordagem para resolver o problema teve início com a modelagem da planta, resultando em uma Equação Diferencial Ordinária (EDO) de segunda ordem. Em seguida, a transformada de Laplace foi aplicada, permitindo a obtenção da função de transferência no domínio da frequência. Nesse ponto, procedeu-se à criação do diagrama de Bode da planta original, observando que a mesma apresentava erro em regime, uma vez que o  $e(\infty) = 0,0902357$ . Além disso, a margem de fase era de  $94,745^\circ$ , o que não atendia aos requisitos do projeto. Para solucionar essas duas questões, a implementação do controlador PID se fez necessária.

Foi realizada a parametrização do controlador PID incorporando-o ao projeto. Durante a análise do novo sistema, foi observado que a margem de ganho tendia ao infinito como inicialmente, e a margem de fase foi ajustada para atingir  $99,772^\circ$ . Dada a proximidade desse valor em relação ao requisito do projeto, pôde-se considerar que o sistema atende às especificações estabelecidas.

No segundo cenário, segue-se o mesmo processo de modelagem, com a única alteração sendo a associação da tensão com a posição em vez de com a velocidade. Dado o relacionamento existente entre a velocidade e a posição, essa modificação pôde ser facilmente realizada.

Ao examinar a planta original no diagrama de Bode, fica evidente que todos os requisitos são atendidos de forma que não é necessário a utilização de nenhum controlador, apenas uma realimentação com referência de 1 rad.

Finalmente, é evidente que os objetivos foram plenamente alcançados. Isso demonstra que o controle de sistemas através do domínio da frequência é uma alternativa viável que pode oferecer soluções mais ágeis, dependendo das características da planta em questão.

## Referencial Teórico

- [1] HALLIDAY, David; RESNICK, Robert; WALKER, Jearl. **Rotação: Cálculo do momento de inércia.** In: FUNDAMENTOS de Física: Mecânica. 9. ed. [S. l.: s. n.], 2012. v. 1, cap. 10, p. 249-276.
- [2] MARTINS, Allan de Medeiros. **Notas de aula: Modelagem.** LACI - UFRN, [s. l.], [202-?]. Disponível em: <https://www.dev-mind.blog/apps/board/>. Acesso em: 31 out. 2023.
- [3] OLIVEIRA, Gabriel Pereira. **Projeto de controladores PID pelo método frequencial**, 2023. Apresentação de slides. Acesso em 23 out. 2023.